

РАСПРОСТРАНЕНИЕ НЕРАВНОВЕСНЫХ ФОНОНОВ В КРИСТАЛЛАХ АНТРАЦЕНА ПРИ НИЗКИХ ТЕМПЕРАТУРАХ

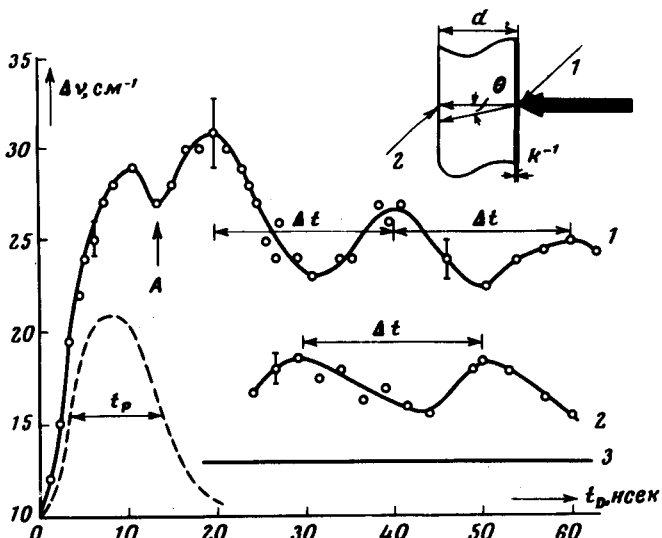
В.Л.Броуде, Н.А.Видмонт, В.В.Коршунов,
И.Б.Левинсон, А.А.Максимов, И.И.Тартаковский

Возбуждая импульсом света одну из поверхностей тонкой кристаллической пластинки антрацена (толщина $d = 12 \text{ мкм}$) при температуре $T_0 \approx 5 \text{ К}$, мы обнаружили временные осцилляции неравновесных свойств, которые связаны с последовательными отражениями фононов от поверхностей пластинки.

Фронтальная поверхность пластинки (развита $[001]$) освещалась импульсным азотным лазером: $\lambda = 3371 \text{ \AA}$, длительность импульса на полувысоте $t_p \approx 10 \text{ нсек}$, частота повторений 100 Гц , интенсивность $I = 10 \pm 100 \text{ кэйт/см}^2$. Такое излучение поглощается на глубине $k^{-1} = 0,5 \text{ мкм}$. Размер пятна освещения $\sim 0,4 \text{ мм}$ много больше толщины пластинки. Неравновесность детектировалась по спектру люминесценции, возбужденной ослабленным зондирующими импульсом второго лазера, задержанным относительно импульса накачки, и направленным на фронтальную или на тыловую поверхности пластинки. В спектре люминесценции регистрировалась ширина полосы $\Delta\nu$ вибронного перехода 23692 см^{-1} и ее зависимость от времени задержки $t_D \lesssim 100 \text{ нсек}$. Измерения велись в стробоскопическом режиме с помощью ФЭУ-36 и стробоскопического осциллографа С-7-5, а также с помощью четырехкаскадного ЗОПа с пилообразным напряжением развертки, позволяющего иметь временное разрешение до 50 нсек [1].

Результаты измерений заключаются в следующем (рисунок). 1) Как на фронтальной, так и на тыловой поверхностях пластинки, ширина $\Delta\nu$ осциллирует со временем t . Наиболее четко осцилляции видны после окончания импульса накачки, т.е. при $t_D > t_p$. Их период $\Delta t \approx 20 \text{ нсек}$.

2) Средние уровни, вблизи которых происходят осцилляции на фронтальной и тыловой поверхностях, зависят от интенсивности накачки и температуры. При низких температурах T_0 и малых накачках ($I < 10 \text{ квт/см}^2$) эти уровни практически совпадают на обеих поверхностях. С ростом I или T_0 средние уровни раздвигаются, — уровень на фронтальной поверхности становится выше уровня на тыловой. Одновременно с этим падает относительная амплитуда осцилляции. При максимальной накачке ($I \sim 100 \text{ квт/см}^2$) или при высокой температуре ($T_0 \gtrsim 30 \text{ К}$) на тыловой поверхности отличие $\Delta\nu$ от равновесного очень невелико. 3) При $t_D < t_p$ на фронтальной поверхности наблюдается процесс установления осцилляций.



Зависимость полуширины $\Delta\nu$ вибронной полосы 2369 см^{-1} от времени задержки t_D при накачке 30 квт/см^2 , $T_0 = 5 \text{ К}$. Зондирующий импульс направлен на фронтальную (1) и на тыловую (2) поверхности. Стрелкой A на кривой 1 указано время прихода фононов к фронту после отражения от тыловой поверхности. 3 — средний уровень осцилляций на обеих поверхностях при накачке 9 квт/см^2 . Пунктир — форма импульса накачки в относительных единицах

Предлагаемая интерпретация эксперимента основывается на следующем. С одной стороны, изменения в полуширине $\Delta\nu$ так или иначе связаны с изменением чисел заполнения фононов. С другой стороны, скорость распространения возмущения, оцененная из периода осцилляций $2d/\Delta t = 1,2 \cdot 10^5 \text{ см/сек}$, близка к скорости звука $s = (1/4) \cdot 10^5 \text{ см/сек}$ [2]. Поэтому естественно думать, что передача неравновесности осуществляется фононами. При этом с такой скоростью она может идти или в режиме баллистического распространения [3], или в гидродинамическом режиме, поскольку теплопроводность существенно более медленна и не может приводить к такого рода осцилляциям.

Баллистическое распространение в тонкой пластинке отличается от обычного необходимостью учета фононов, распространяющихся под

различными углами θ к нормали, и имеющих времена пробега $d/s \cos \theta$. Однако, как показали прямые численные расчеты, разброс времен пробега не приводит к размытию временных осцилляций числа фононов, возбужденных на фронтальной поверхности вплоть до длительности возбуждающего импульса $t_p < 2d/s$. Поэтому отличить баллистический режим от гидродинамического можно только по оценкам длин пробега.

При используемых интенсивностях накачки в результате релаксации электронного возбуждения до нижайшей экситонной зоны, а также в связи с интенсивным оже-процессом при высокой концентрации экситонов [4], почти вся энергия накачки превращается в коротковолновые фононы акустических ветвей, имеющие энергию $\omega_0 \approx 30 \text{ см}^{-1}$ [2]. По-видимому, время такого размена $\lesssim 10^{-10} \text{ сек}$. Релаксация происходит в пределах слоя поглощения $k^{-1} \approx 0,5 \text{ мкм}$, так как длина диффузационного смещения экситонов $\sim 0,1 \text{ мкм}$, а смещения дебаевских фононов за время релаксации также не превышает $0,1 \text{ мкм}$.

Возникающие на этом этапе числа заполнения фононов $n_0 \approx I k t_0 a_0^3 / 3\hbar\omega_0$, здесь $a_0^3 = 0,5 \cdot 10^{-21} \text{ см}^3$ – объем элементарной ячейки и t_0 – время жизни фона на ω_0 . Мы будем считать длину свободного пробега такого фона $l_0 = s t_0 = 0,1 \text{ мкм} \approx 100 a_0$. Тогда $n_0 = 1$ лишь при $I = 4200 \text{ квт/см}^2$. Для использованных накачек $n_0 \ll 1$, поэтому доминирующим процессом будет спонтанный распад фононов ω_0 , грубо говоря, на половинные фононы $\omega_0/2$, затем на $\omega_0/4$, и т.д. В процессе такой деградации фононы будут распространяться от фронтальной поверхности $z=0$ вглубь кристалла. Так как с изменением частоты длина свободного пробега растет по закону $l(\omega) = l_0 (\omega/\omega_0)^{-5}$, то фононы частоты ω достигнут глубины $z = l(\omega)$. Будем считать распространение стационарным. Тогда поток энергии во всех поколениях фононов должен равняться световому: $n(\omega) (3\hbar\omega_0/a_0^3) (\omega/\omega_0)^4 s = I$. Отсюда видно, что при удалении от фронтальной поверхности числа заполнения фононов возрастают:

$$n(z) = (I a_0^3 / 3\hbar\omega_0 s) (z/l_0)^{4/5}.$$

Пока $n(z) < 1$, фононы распространяются в баллистическом режиме; при тех $z = \tilde{z}$, где $n(z) = 1$, устанавливается гидродинамический режим. Уже при минимальной накачке $I = 10 \text{ квт/см}^2$ имеем $\tilde{z} \approx 20 \text{ мкм} \sim d$. Это значит, что при всех использованных накачках, кроме самых малых, прежде чем фононы первый раз достигнут тыловой поверхности, они перейдут в гидродинамический режим распространения. Дальнейшее движение фононов и все последовательные отражения будут происходить в этом режиме. Время установления гидродинамического режима есть $\tilde{z}/s \approx 10 \text{ нсек} < 2t_p$; поэтому стационарное рассмотрение процесса установления оправдано. Само гидродинамическое распространение уже не является стационарным, так как $t_D \gtrsim 2t_p$. Заметим, что от обычного второго звука оно отличается сильной степенью возбуждения фононной системы.

Фононы подвержены также процессам переброса, переводящим распространение в диффузационный режим. Средняя частота фононов, для которых устанавливается гидродинамический режим, $\tilde{\omega} = \omega_0 (I a_0^3 / 3\hbar\omega_0 s)^{1/4} \approx 0,3\omega_0$ при $I = 10 \text{ квт/см}^2$. Для таких фононов длина свободного пробега относительно рассеяния на равновесных фононах с перебросом $l_U = l_0 e^{\omega_0/T_0}$. При $T_0 = 5 \text{ К}$ это дает $l_U = 60 \text{ мкм}$, что заметно больше

z. Однако уже при $T_0 = 10$ К имеем $l_U = 2 \text{ мкм}$. Таким образом, при повышении T_0 следует ожидать перехода в диффузионный режим, при котором замедляется поступление энергии на тыловую поверхность и исчезают осцилляции. Именно это и наблюдается на опыте. Сделанная оценка l_U не учитывает наличия неравновесных фононов с частотой ω_0 . Оценить их число очень трудно, но надо думать, что в этой области частот гидродинамический режим устанавливается медленнее, и поэтому число этих фононов меньше, чем в равновесном распределении с температурой, соответствующей $\tilde{\omega}$. Однако несомненно, что число этих фононов увеличивается с ростом $\tilde{\omega}$, т.е. с ростом I . Вкладом этих фононов в процессы переброса можно объяснить переход в диффузионный режим, наблюдавшийся при больших накачках.

Следует иметь в виду, что принятное значение l_0 , хотя и правдоподобно, но произвольно, и что все использованные формулы сугубо порядковые. Поэтому численные оценки претендуют только на то, чтобы показать разумность принятой интерпретации. В частности, может быть, что гидродинамический режим не успевает установиться до первого отражения, и что первое расстояние d фононы проходят баллистически, т.е. несколько быстрее. Тогда можно понять почему время первого возвращения отраженного импульса (стрелка на рисунке) меньше периода дальнейших осцилляций Δt .

Следует подчеркнуть, что плоская геометрия способствует возрастанию чисел заполнения фононов в процессе их деления, ибо в этой геометрии плотность энергии при удалении от источника остается постоянной. Это, в свою очередь, благоприятствует установлению гидродинамического режима.

В заключение заметим, что ударных акустических волн при используемых мощностях накачки быть не может, ибо нелинейные акустические эффекты возникают при потоках I порядка $(\tilde{\omega}_0 / a_0^3) (M/m)^{1/2} s \approx \approx 10^5 \text{ квт/см}^2$; здесь входит параметр адиабатичности, т.е. отношение массы электрона к массе ядра. Однако ударные волны в фононном газе не исключены.

Институт физики твердого тела
Академии наук СССР

Институт теоретической физики
им. Л.Д.Ландау
Академии наук СССР

Поступила в редакцию
17 февраля 1977 г.

Литература

- [1] В.Л.Броуде, В.В.Коршунов, И.И.Тартаковский, В.Б.Тимофеев.
ФТТ, 17, 1753, 1975.
- [2] U.Lutz. Gitterdynamik von Anthrazen. Diss. Zürich, 1970.
- [3] V.A.Benderskii, V.Kh.Brikenstein, V.L.Broude, A.G.Lavrushko.
Solid. St. Comm., 15, 1235, 1974.
- [4] O.S.Avanesjan et al. Mol. Cryst. Liq. Cryst., 29, 165, 1974.